

Tafeln

Objektyp: **Appendix**

Zeitschrift: **Schweizerische Polytechnische Zeitschrift**

Band (Jahr): **12 (1867)**

Heft 3

PDF erstellt am: **27.06.2024**

Nutzungsbedingungen

Die ETH-Bibliothek ist Anbieterin der digitalisierten Zeitschriften. Sie besitzt keine Urheberrechte an den Inhalten der Zeitschriften. Die Rechte liegen in der Regel bei den Herausgebern.

Die auf der Plattform e-periodica veröffentlichten Dokumente stehen für nicht-kommerzielle Zwecke in Lehre und Forschung sowie für die private Nutzung frei zur Verfügung. Einzelne Dateien oder Ausdrucke aus diesem Angebot können zusammen mit diesen Nutzungsbedingungen und den korrekten Herkunftsbezeichnungen weitergegeben werden.

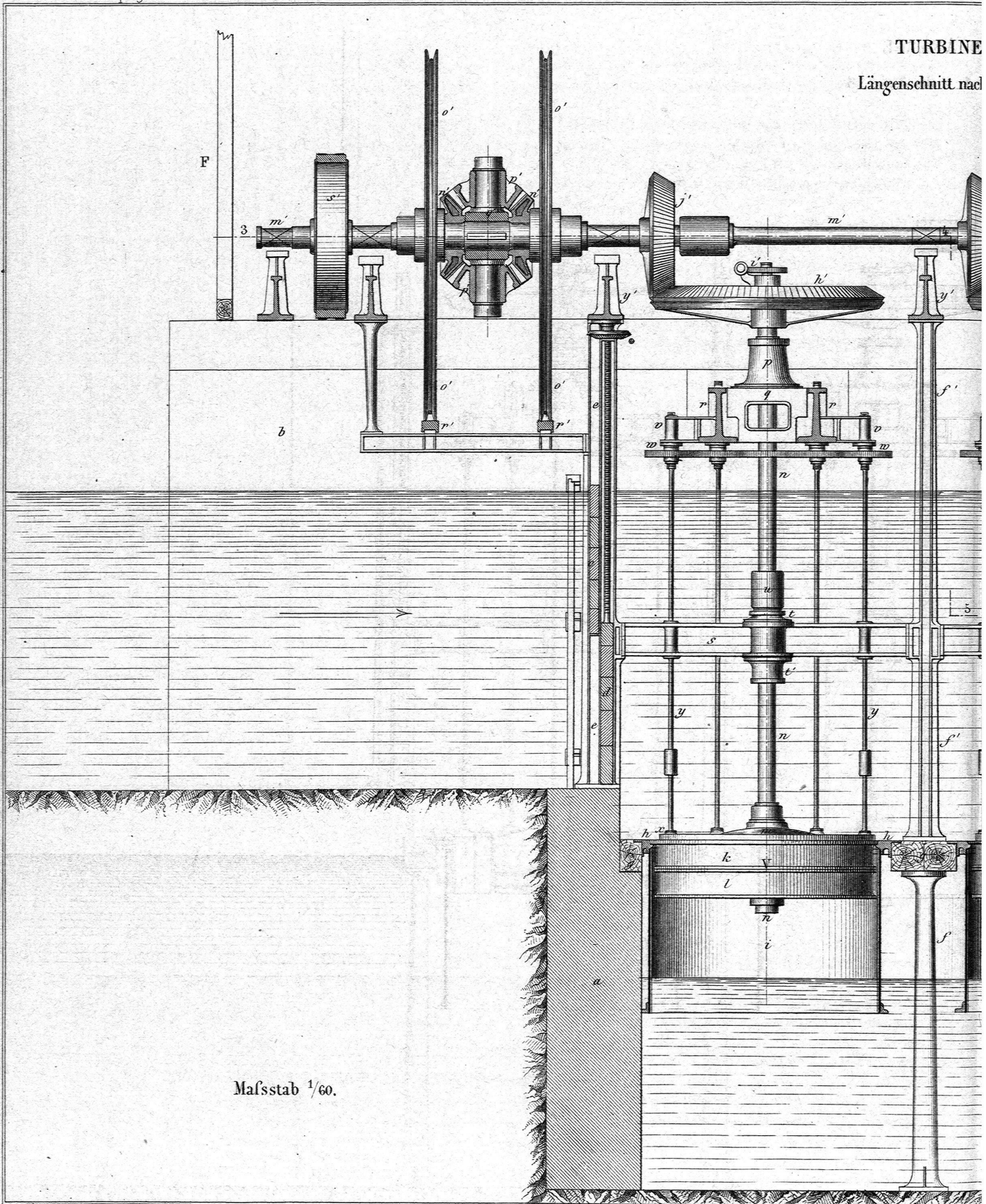
Das Veröffentlichen von Bildern in Print- und Online-Publikationen ist nur mit vorheriger Genehmigung der Rechteinhaber erlaubt. Die systematische Speicherung von Teilen des elektronischen Angebots auf anderen Servern bedarf ebenfalls des schriftlichen Einverständnisses der Rechteinhaber.

Haftungsausschluss

Alle Angaben erfolgen ohne Gewähr für Vollständigkeit oder Richtigkeit. Es wird keine Haftung übernommen für Schäden durch die Verwendung von Informationen aus diesem Online-Angebot oder durch das Fehlen von Informationen. Dies gilt auch für Inhalte Dritter, die über dieses Angebot zugänglich sind.

TURBINE

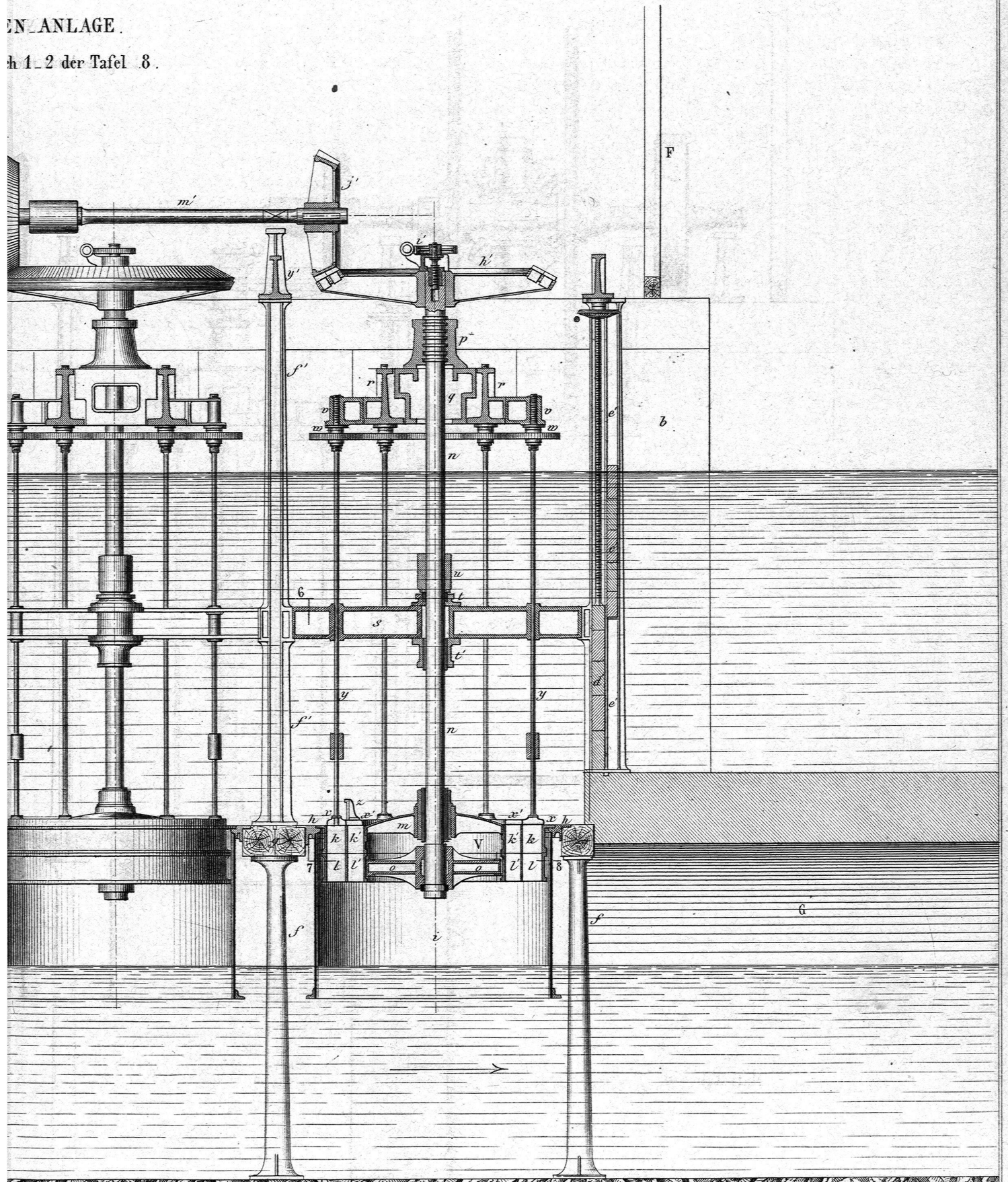
Längenschnitt nach



Mafsstab 1/60.

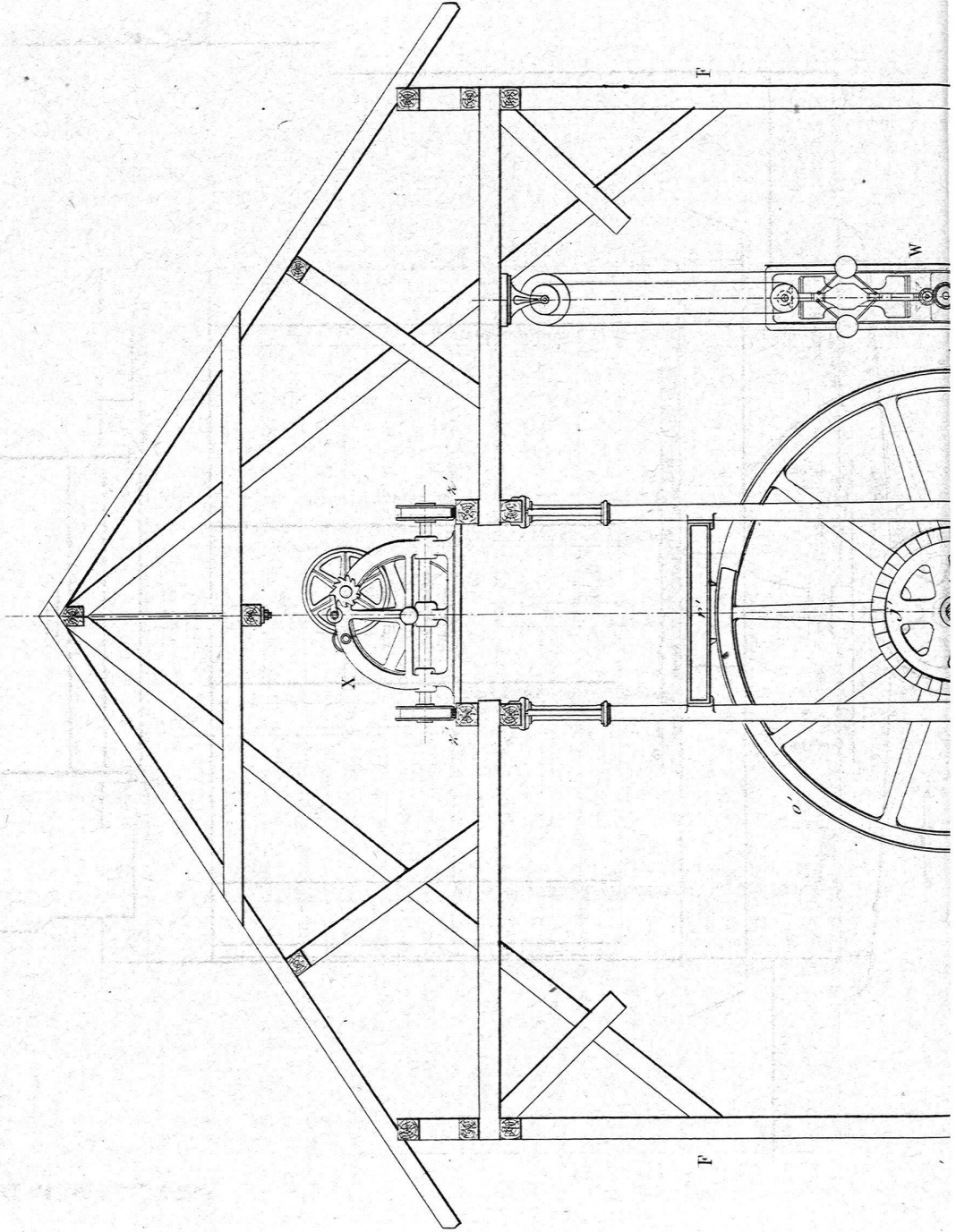
ANLAGE.

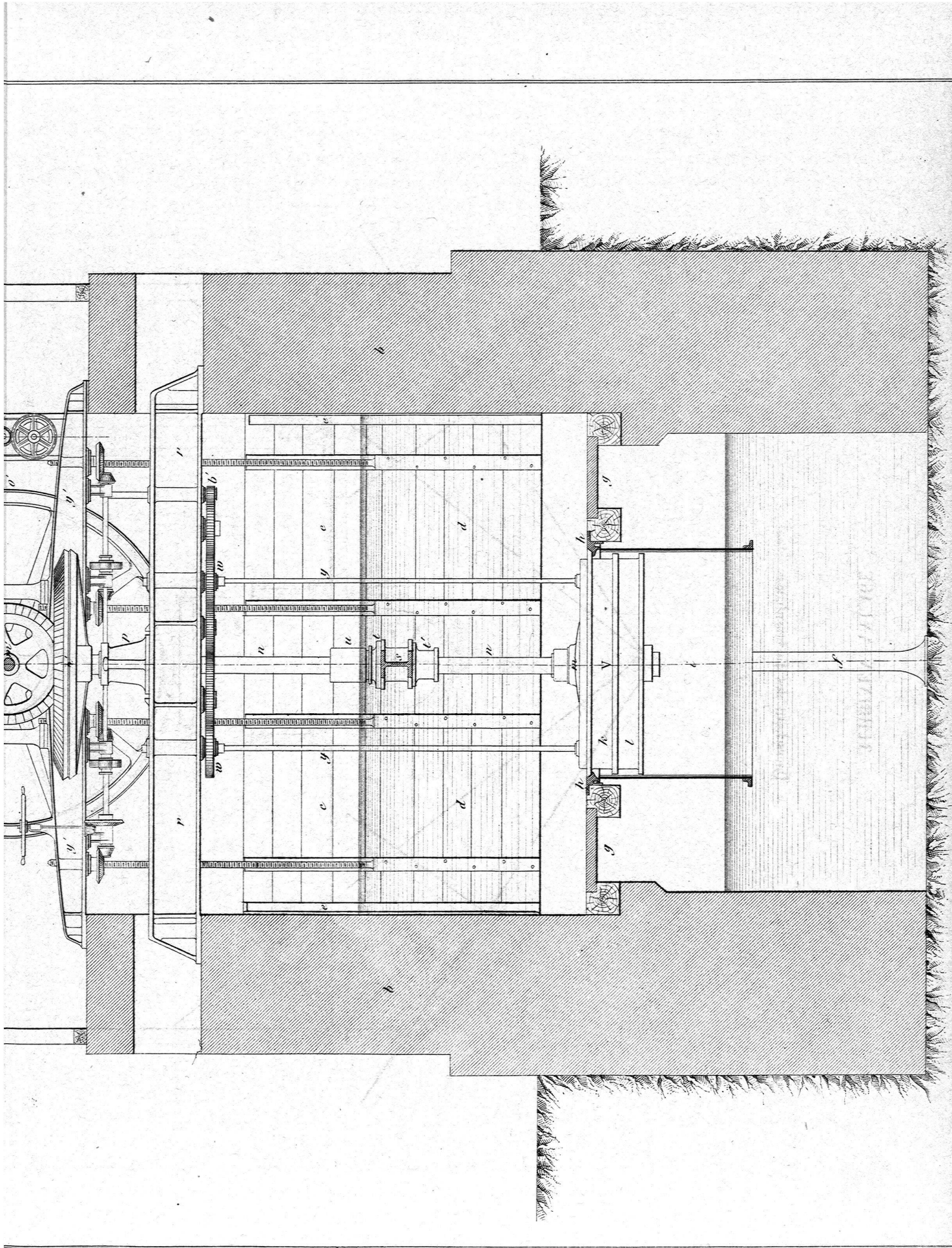
h 1. 2 der Tafel 8.



TURBINEN-ANLAGE

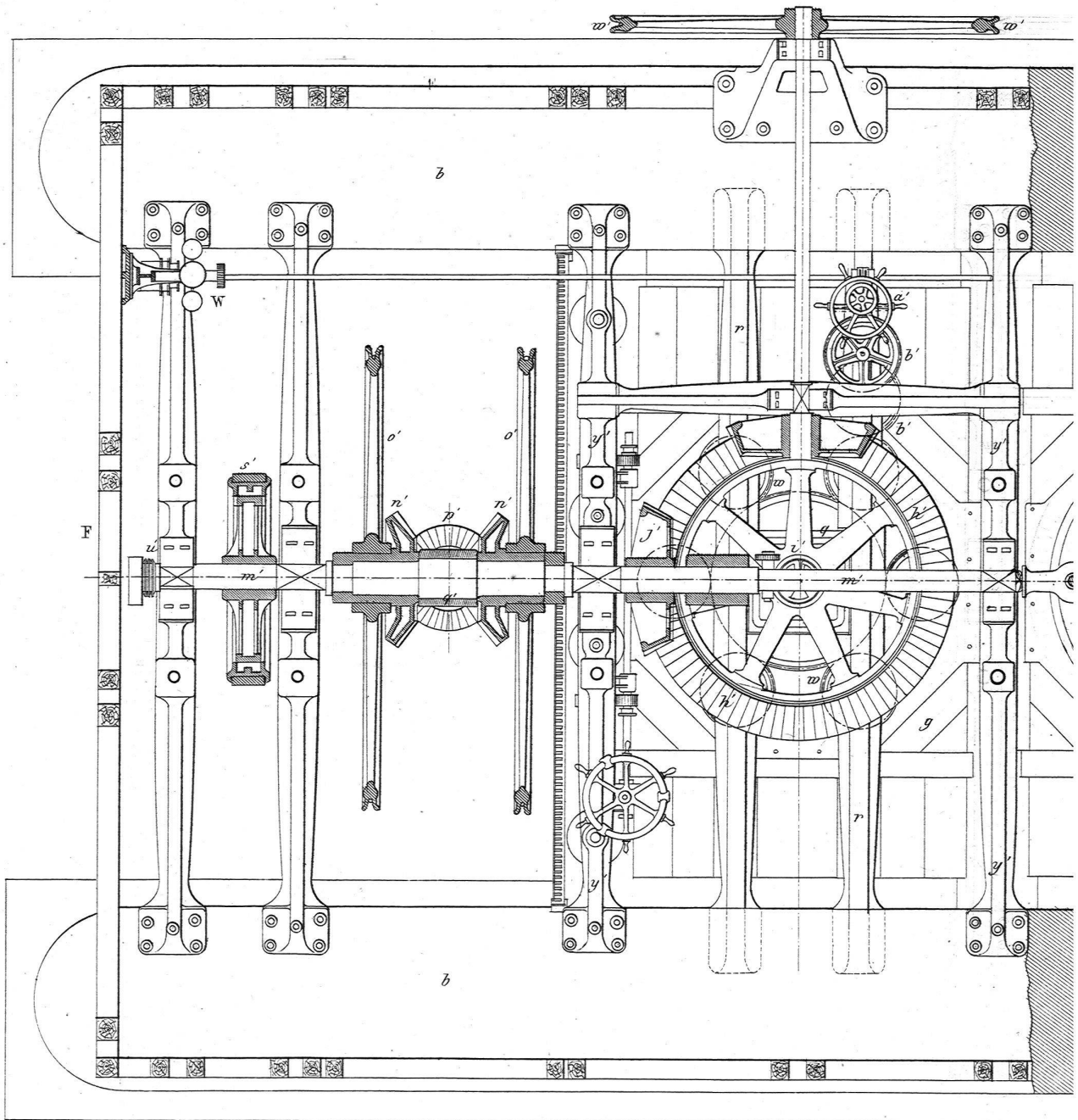
Querschnitt des Turbinenhauses ($\frac{1}{60}$).



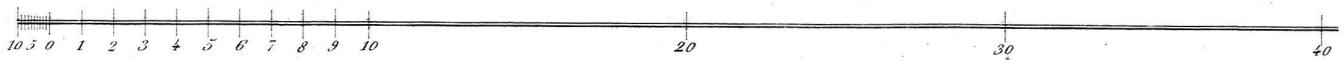


TURBINEN - ANLAGE

Grundriss u. Horizontalschnitt nach 3-4

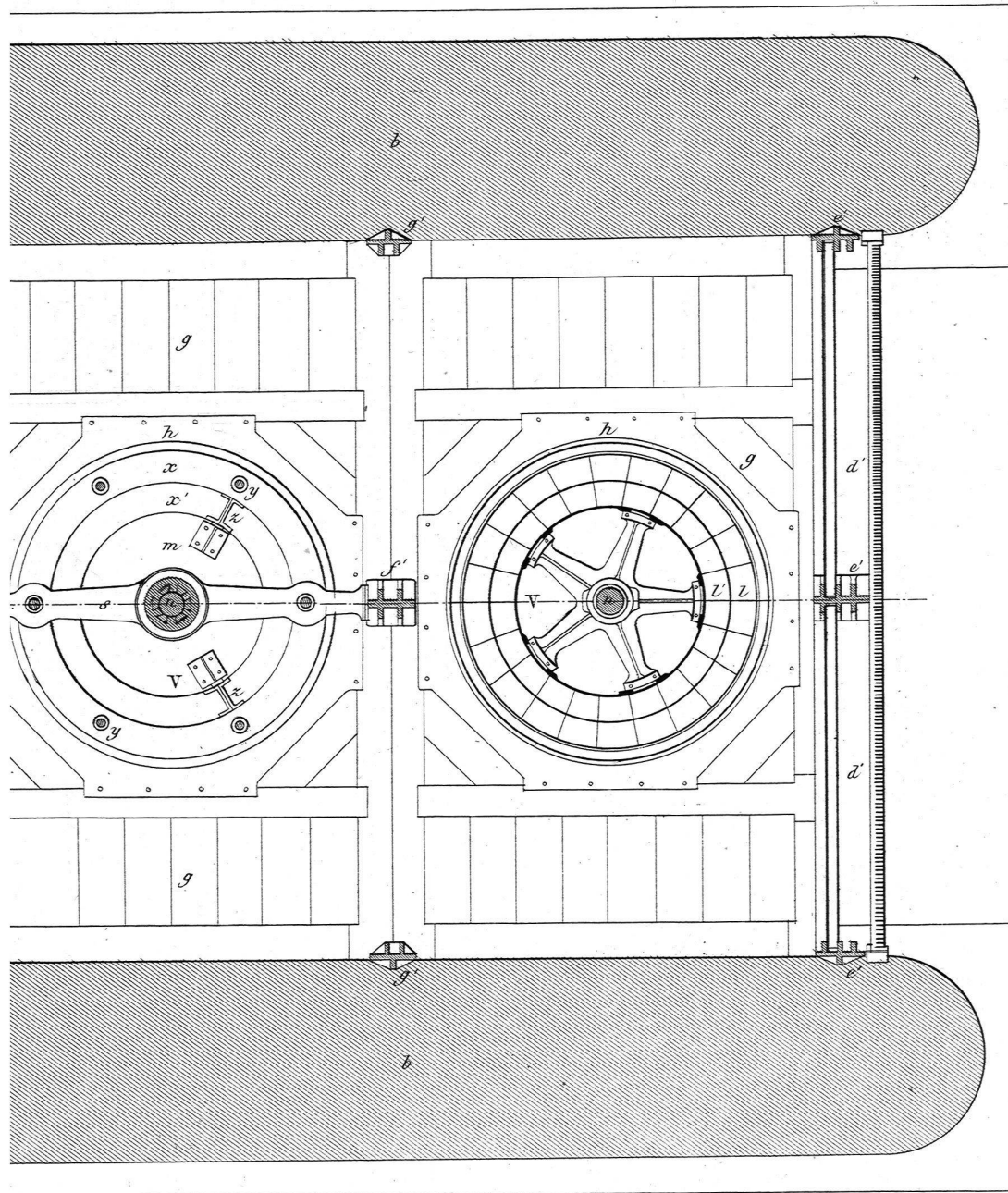


Maßstab = 1: 60



AGE.

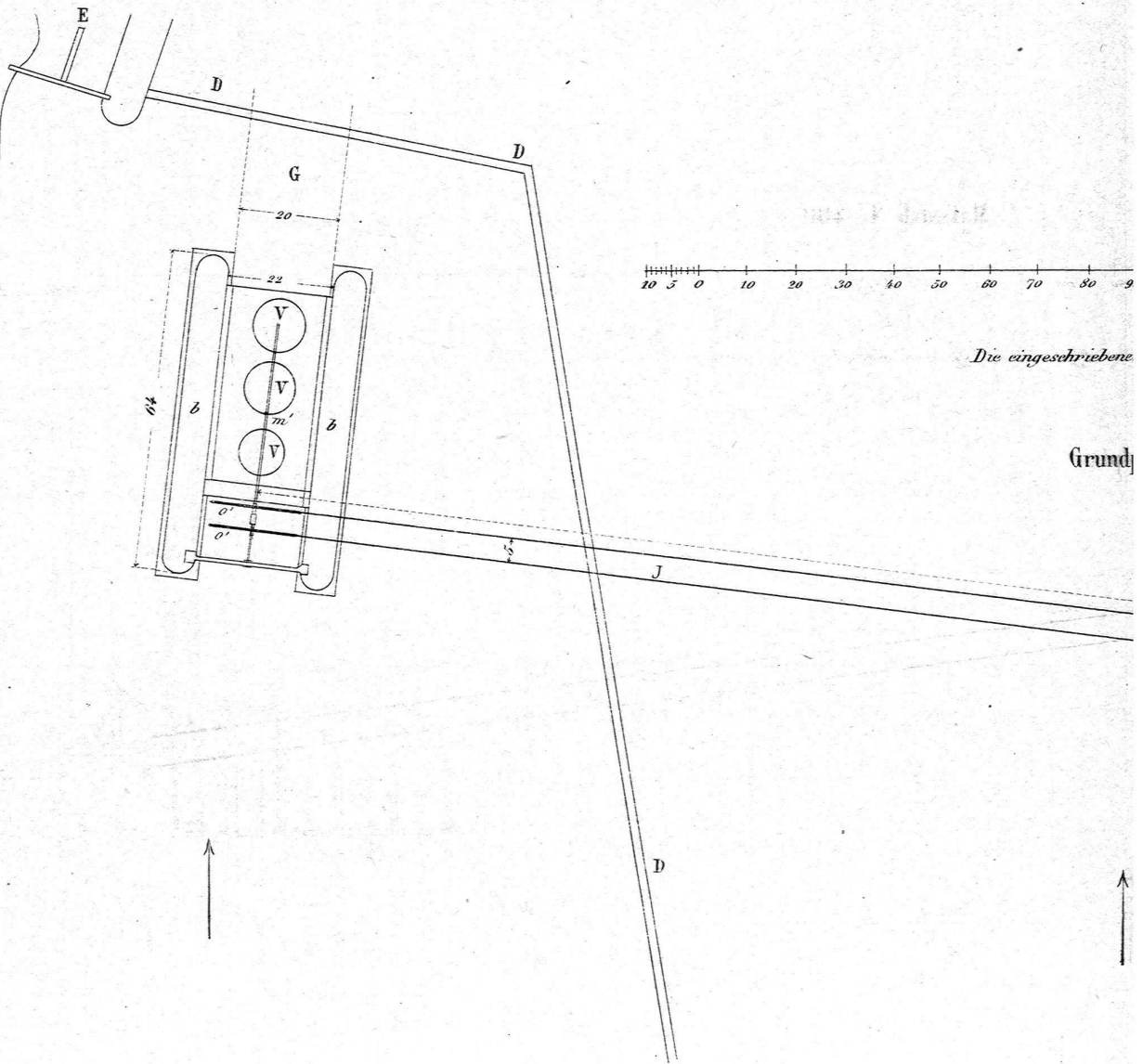
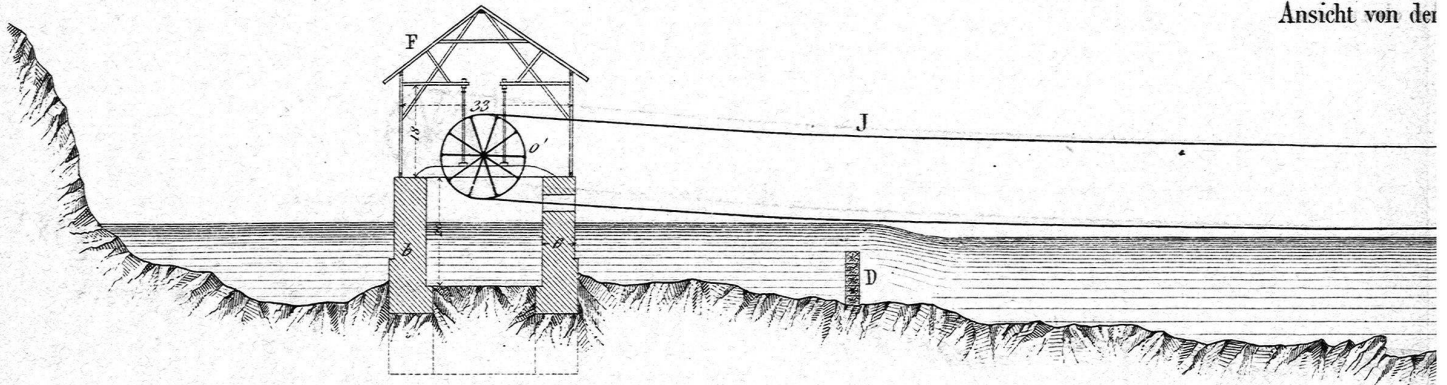
4.5.6.7.8 der Taf. 6.



40 50 60 70 Schweiz Fuss (1 Fuss = 0^m 30)

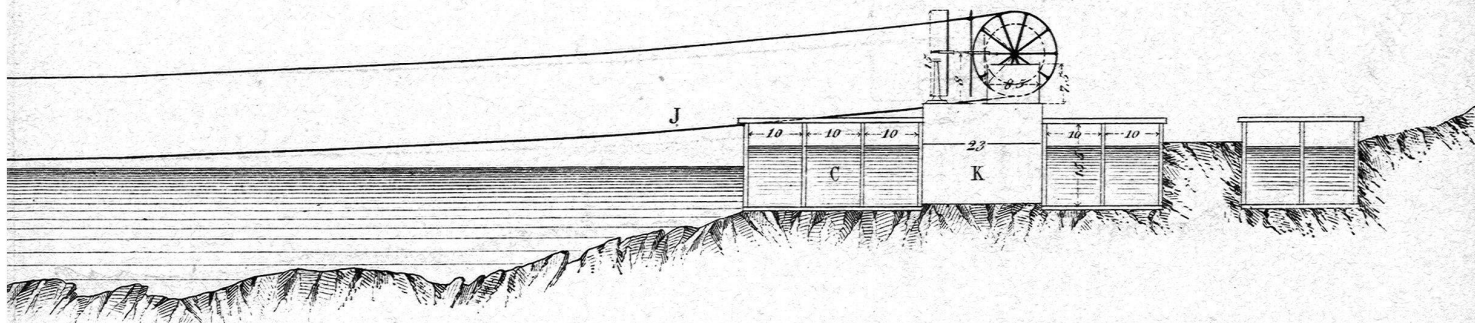
TURBINEN ANLAGE mit d

Ansicht von der



der SEILTRANSMISSION

der oberen Seite.



Maßstab 1:400



alle Maße sind in Fußsen ausgedrückt

Grundplan

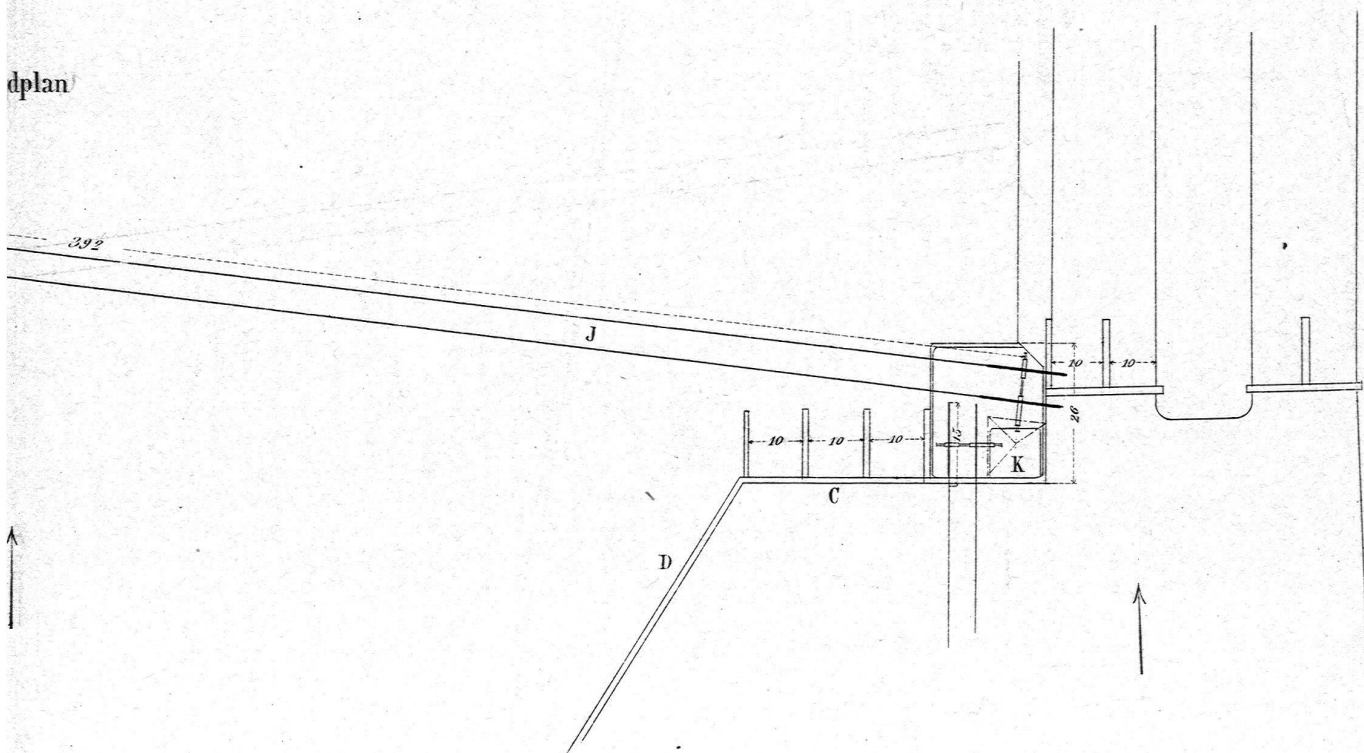


Fig. 1.

Zur Theorie des Reflexionsprismas
mit constantem Ablenkungswinkel.

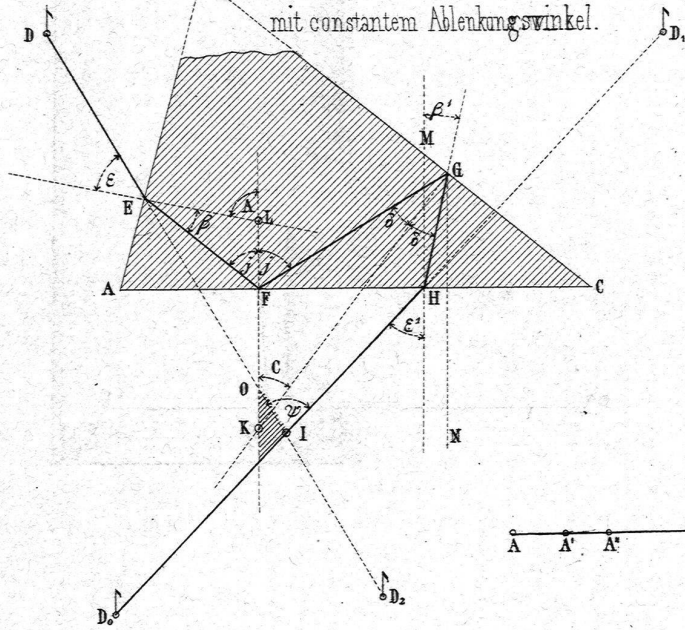


Fig. 2.

Zur Theorie der
Distanzmessung.

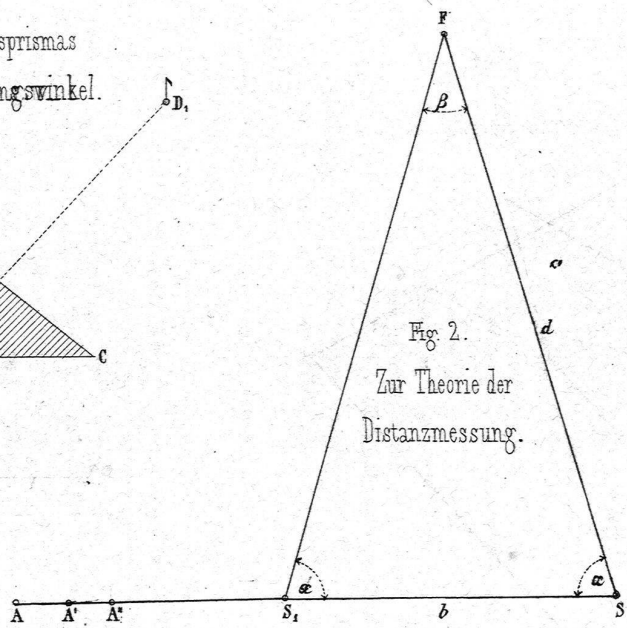


Fig. 4.

Horizontalprojection des geschlossenen Instrumentes.

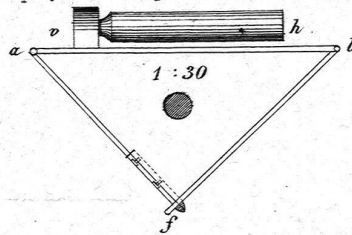


Fig. 3. Jalon.



Fig. 6.

im Standpunkte S.

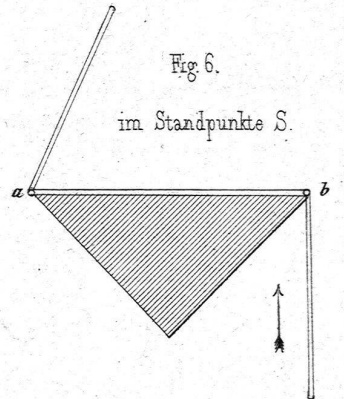
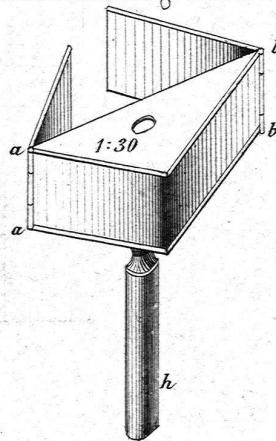
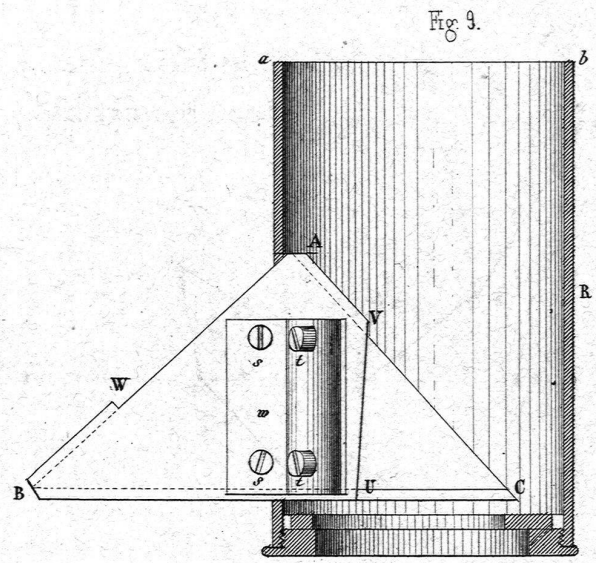
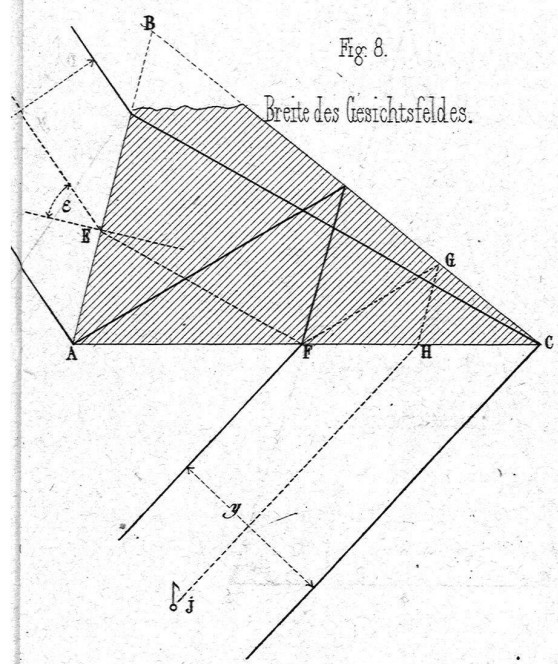


Fig. 5.

Perspectivische Ansicht des geöffneten Instrumentes.



Die Bauernfeind's



stellung der Blenden.

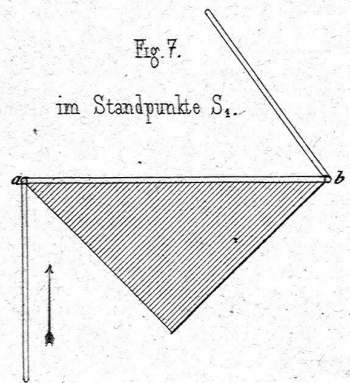


Fig. 10.

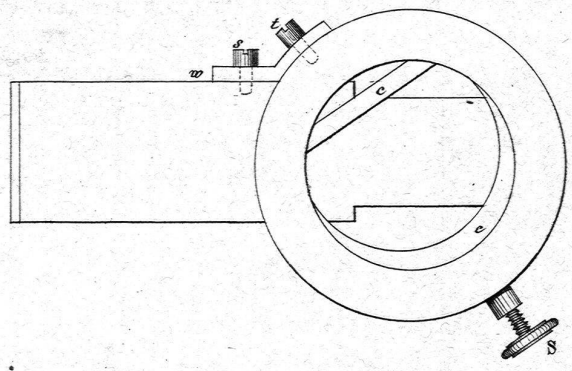
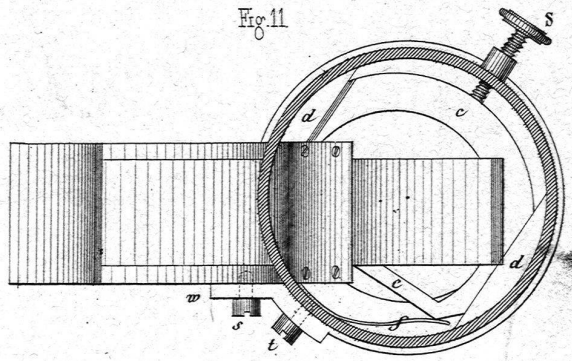


Fig. 11.



Ernst Fischer:

Prismen-Distanzenmesser.

Zeuner: Ueber das Verhalten
r überhitzten oder gemischten Wasserdämpfe.

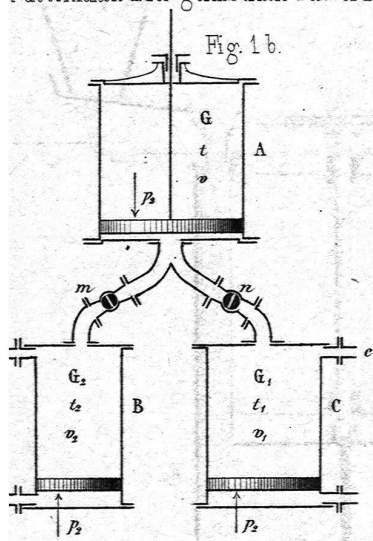
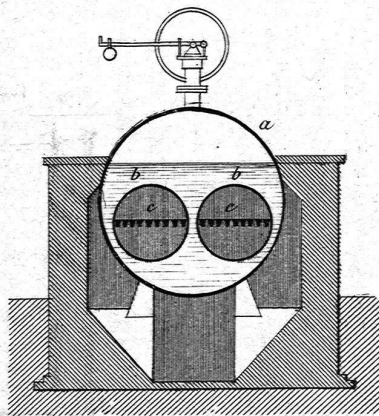


Fig. 2. Schnitt A-B.



Galloway's Dampfessel.

Fig. 4. Schnitt E-F.

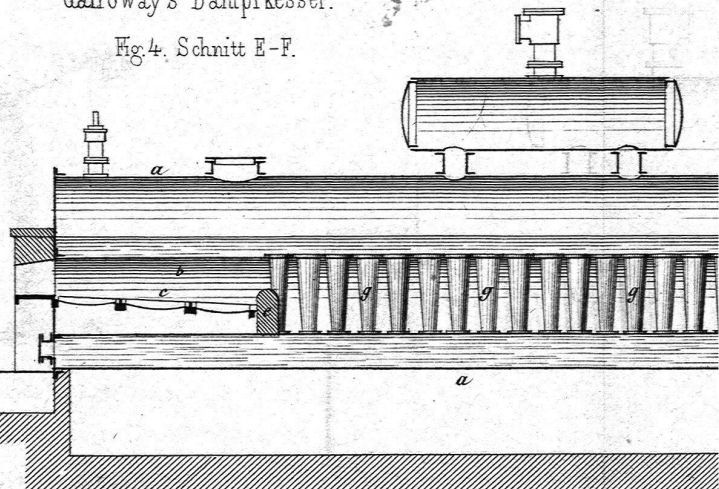


Fig. 5. Grundriss.

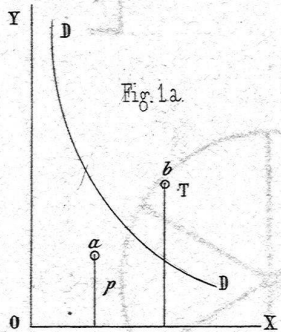
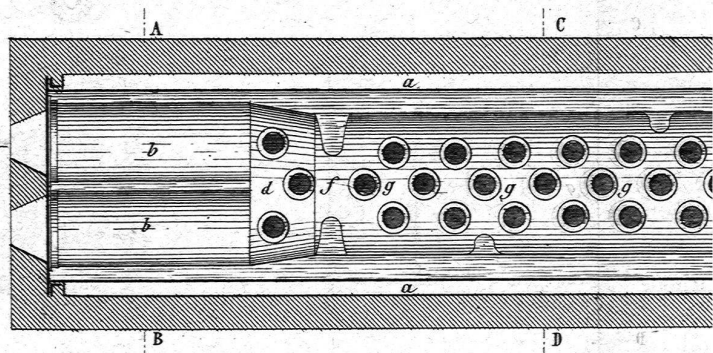


Fig. 1 a.

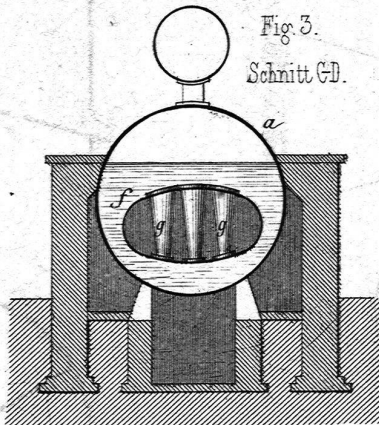


Fig. 3.
Schnitt G-D.

Beillard's mechan. Thürrschliesser.

Fig. 19. Schnitt 1-2.

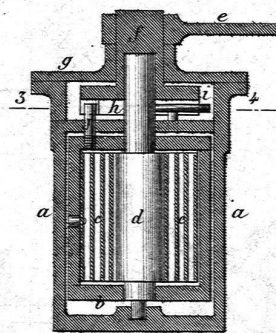
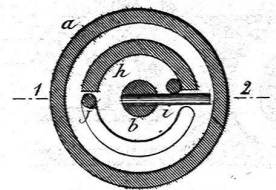
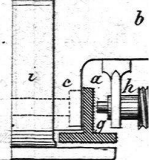


Fig. 20. Schnitt 3-4.



Furrell's

Fig. 12.



Marlett's Vorhängschloss.

Fig. 15.

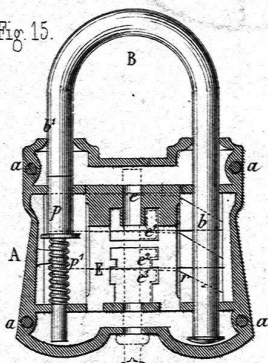
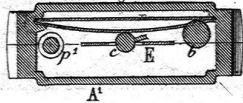


Fig. 16.



Bandet's Sicherheitsschlüssel.

Fig. 18.

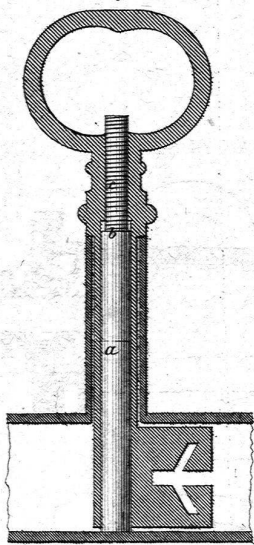
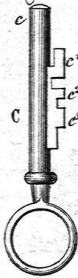


Fig. 17.



H. Fritz: Monodimetr.
Zeichnen der Ellipsen.

Fig. 21.

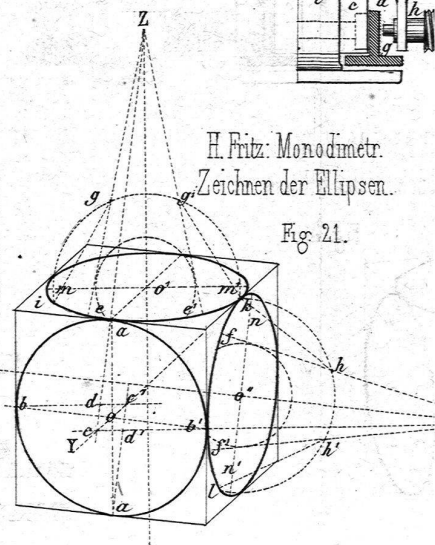
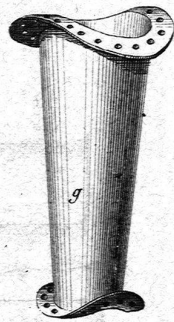
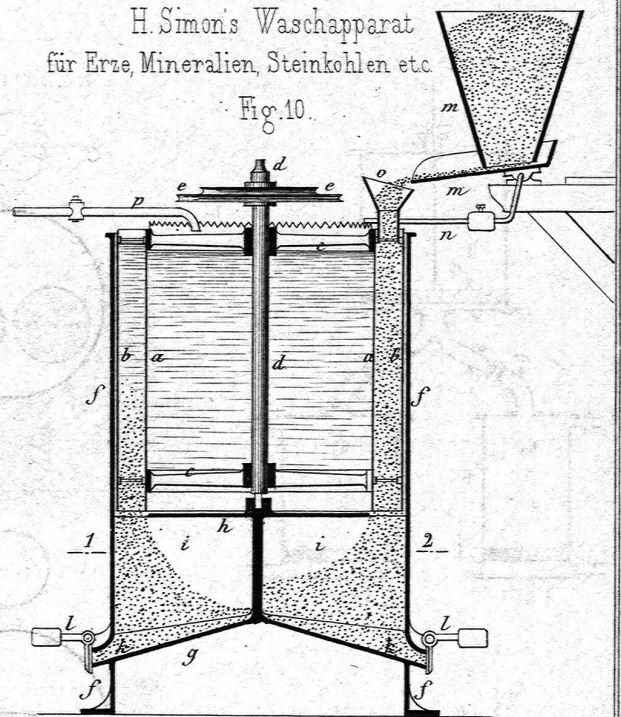


Fig. 6.



H. Simon's Waschapparat für Erze, Mineralien, Steinkohlen etc.

Fig. 10.



Transportable Lochmaschine.

Fig. 14.

(1/10)

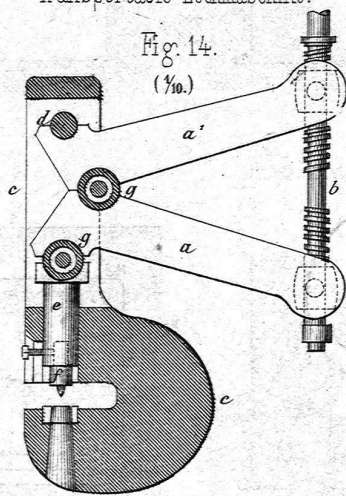
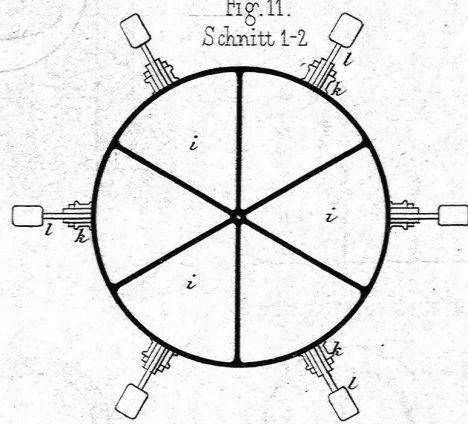


Fig. 11.
Schnitt 1-2



Furrell's Handlochapparat.

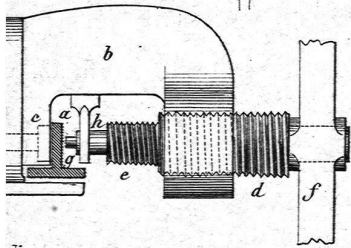
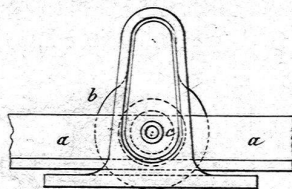


Fig. 13.

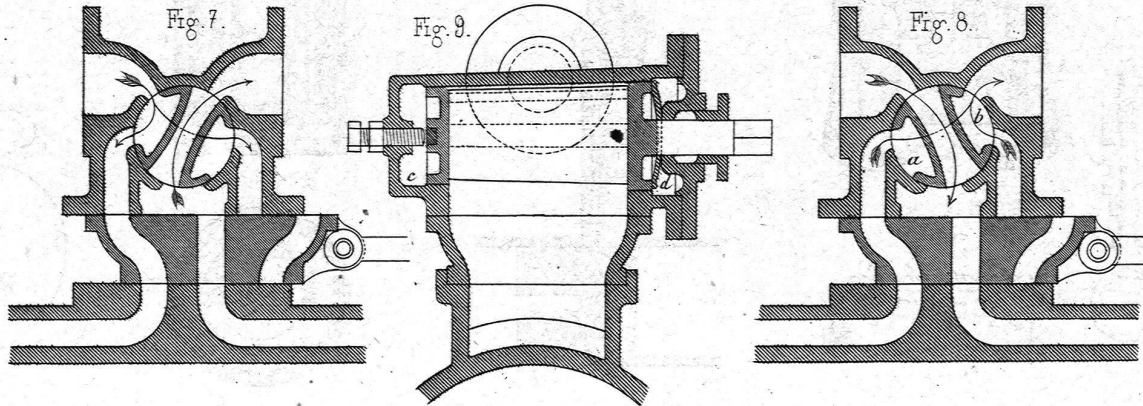


Fritz: Vorrichtung zum Umsteuern u. Abstellen von Dampf- u. Hydraul. Maschinen.

Fig. 7.

Fig. 9.

Fig. 8.



dimetr.
Nipsen.

21.

